

Выражения для нормальных и касательных напряжений принимают вид

$$\begin{aligned}\sigma_x = & \frac{h^2 E_x^\circ (p_1 - p_2)}{6l^2 E_y} k^2 e^{-kx} (\sin kx - \cos kx) (1 - 3y^2) + \\ & + \frac{l^2 (p_1 + p_2)}{4h^2} \left( 3x^2 - 3x + \frac{1}{2} \right) y + \frac{\mu_{xy} E_x^\circ (p_1 - p_2)}{2k E_y} (1 - k) \\ \tau_{xy} = & \frac{h^3 E_x^\circ (p_1 - p_2)}{3l^2 E_y} k^3 e^{-kx} \cos kx (y^3 - y) + \frac{3l (p_1 + p_2)}{4h} \left( x - \frac{1}{2} \right) (1 - y^2).\end{aligned}\quad (19)$$

Отметим, что построенное решение содержит гиперголо-тригонометрические функции и приближенно учитывает краевые эффекты типа погранслоя. При  $E_y \rightarrow \infty$ ,  $G_{xy} \rightarrow \infty$  полученное решение совпадает с результатом, вытекающим из элементарной теории изгиба балок. Следует отметить, что равенства (18), (19) справедливы при  $0 \leq x \leq 0.5$ , так как при определении констант балка считалась достаточно длинной и в решении для первого уравнения в (14) удерживалась только затухающая часть.

На фиг. 2, 3 показаны распределения нормальных и касательных напряжений в сечении  $x=0$  по толщине балки, нагруженной давлением  $p_1=p$  при  $p_2=0$  (кривая 1) и  $p_2=p$  при  $p_1=0$  (кривая 2). Кривая 3 соответствует решению, основанному на законе плоских сечений. Балка изготовлена из углепластика с параметрами:  $l/2h=10$ ,  $E_x=14.9 \cdot 10^3$  кгс/см<sup>2</sup>,  $E_y=0.6 \cdot 10^3$  кгс/см<sup>2</sup>,  $G_{xy}=0.4 \cdot 10^3$  кгс/см<sup>2</sup>,  $\mu_{xy}=\mu_{yx}=0$ . Распределения напряжений, найденные без учета эффекта Пуассона ( $\mu_{xy}=\mu_{yx}=0$ ), практически не отличаются от приведенных на фиг. 2, 3, поэтому пренебрежение эффектом Пуассона по толщине в рассматриваемых задачах представляется допустимым. Таким образом, предлагаемая расчетная модель позволяет достаточно просто учесть поперечные сдвиговую и нормальную деформации.

Поступила 25 VIII 1975

#### ЛИТЕРАТУРА

1. Григорюк Э. И., Коган Ф. А. Современное состояние многослойных оболочек. Прикл. механ., 1972, т. 8, вып. 6.
2. Галинши А. Г. Расчет пластин и оболочек по уточненным теориям. В сб.: Исследования по теории пластин и оболочек. Изд. Казанск. ун-та, 1967, вып. 5; 1970, вып. 6—7.

УДК 539.214;539.374

#### ОБ ОДНОМ ВАРИАЦИОННОМ ПРИНЦИПЕ В МЕХАНИКЕ СПЛОШНЫХ СРЕД И ЕГО ПРИЛОЖЕНИЕ К ТЕОРИИ ВЯЗКОПЛАСТИЧЕСКИХ ОБОЛОЧЕК

Т. Д. СЕМЬКИНА, В. П. ШАТИЛОВ

(Воронеж)

Предлагается вариационный принцип относительно независимого поля напряжений и кинематически допустимого поля скоростей перемещений для сплошных сред, обладающих потенциальными функциями напряжений и скоростей деформаций.

Полученный вариационный принцип записывается в терминах теории оболочек относительно независимых статических допустимого поля усилий — моментов и кинематически допустимого поля скоростей перемещений срединной поверхности.

Вид функционала конкретизируется для оболочек, изготовленных из вязкопластического материала.

1. Рассмотрим материалы, для напряженного и деформированного состояния которых [1] существуют потенциальные функции  $X_p^*(\sigma_{ij})$  и  $X_v^*(\varepsilon_{ij})$ :

$$\sigma_{ij} = \frac{1}{2}(1 + \delta_{ij}) \partial X_v^* / \partial \varepsilon_{ij}^*, \quad \varepsilon_{ij}^* = \frac{1}{2}(1 + \delta_{ij}) \partial X_p^* / \partial \sigma_{ij} \quad (1.1)$$

Напряжения удовлетворяют уравнениям равновесия и граничным условиям на части поверхности  $S_p$

$$\nabla \sigma + \rho F = 0, \quad e^v \sigma - p = 0 \quad \text{на } S_p \quad (1.2)$$

Деформации определяются по соотношениям Коши

$$\varepsilon_{ij}^* = \frac{1}{2}(\nabla u^* + u^* \nabla) \quad (1.3)$$

Тогда можно показать, что справедлив следующий вариационный принцип: среди всех статически допустимых напряжений, удовлетворяющих условиям (1.2), и всех кинематически допустимых скоростей перемещений, удовлетворяющих граничным условиям на  $S_u$ , а также связанных с ними соотношениями (1.3) полей скоростей деформации, истинные поля напряжений и скоростей деформаций сообщают стационарное значение функционалу

$$J = \int_V [2\sigma_{ij} \varepsilon_{ij}^* - 2X_p^*(\sigma_{ij}) - X_v^*(\varepsilon_{ij}^*)] dv - \int_{S_p} p u^* ds - \int_V \rho F u^* dv \quad (1.4)$$

При независимых вариациях  $\delta \sigma_{ij}$  и  $\delta u_i$  соотношения (1.1)–(1.3) эквивалентны выполнению равенства  $\delta J = 0$ .

2. Для тонких оболочек (в рамках гипотез Кирхгофа – Лява) напряженное состояние определяется усилиями  $N_{ij}$  и моментами  $M_{ij}$ , а деформированное состояние – скоростями деформации  $\varepsilon_{ij}^*$  и изменениями кривизны срединной поверхности  $\kappa_{ij}$

$$N_{ij} = \int_{-h/2}^{h/2} \sigma_{ij} dz, \quad M_{ij} = \int_{-h/2}^{h/2} \sigma_{ij} z dz, \quad \varepsilon_{ij}^* = \varepsilon_{ij}^{*0} + z \kappa_{ij}^* \quad (2.1)$$

В этом случае функционал  $J$  можно представить следующим образом:

$$\begin{aligned} J_1 &= \int_S \left\{ \int_{-h/2}^{h/2} [2\sigma_{ij}(\varepsilon_{ij}^{*0} + z \kappa_{ij}^*) - 2X_p^*(\sigma_{ij}) - X_v^*(\varepsilon_{ij}^*)] dz \right\} ds - \int_{S_p} p u^* ds - \int_V \rho F u^* dv = \\ &= \int_S [2M_{ij} \kappa_{ij}^* + 2N_{ij} \varepsilon_{ij}^{*0} - 2X_p^*(M_{ij}, N_{ij}) - X_v^*(\varepsilon_{ij}^{*0}, \kappa_{ij}^*)] ds - \\ &\quad - \int_{S_p} p u^* ds - \int_S \int_{-h/2}^{h/2} \rho F u^* dz ds \quad (2.2) \end{aligned}$$

где  $S$  – срединная поверхность оболочки. Таким образом, для оболочек справедлив вариационный принцип  $\delta J_1 = 0$ .

Если рассматривается линейно-упругая среда, то потенциальные функции для деформаций  $\varepsilon_{ij}^*$  и напряжений совпадают

$$X_p(\sigma_{ij}) = W_0(\sigma_{ij}), \quad X_v(\varepsilon_{ij}^*) = W_0(\varepsilon_{ij}^*)$$

В этом случае вариационные принципы  $\delta J_1 = 0$  и  $\delta J = 0$  переходят в принцип Рейсснера и его разновидность для оболочек [2].

3. Получим вариационный принцип для вязкопластической среды, условие течения которой записывается в следующей форме:

$$\sqrt{J_2'} = k + 2\eta \sqrt{I_2'}, \quad J_2' = \frac{1}{2} s_{ij} s_{ij}, \quad I_2' = \frac{1}{2} \varepsilon_{ij}^* \varepsilon_{ij}^* \quad (3.1)$$

где  $k$  – предел текучести при сдвиге,  $\eta$  – коэффициент вязкости,  $s_{ij} = \sigma_{ij} - \sigma \delta_{ij}$ .

Для скоростей деформаций имеет место ассоциированный закон течения

$$e_{ij}^* = \lambda s_{ij} = \frac{\sqrt{J_2'} - k}{2\eta \sqrt{J_2'}} s_{ij}, \quad s_{ij} = 2\eta \left( 1 + \frac{k}{2\eta \sqrt{J_2'}} \right) e_{ij}^* \quad (3.2)$$

В соответствии с формулами (3.2) потенциальные функции могут быть представлены в виде

$$X_v^*(e_{ij}^*) = 2\eta I_2^{*'} + k \sqrt{I_2^{*'}}, \quad X_p^*(\sigma_{ij}) = \frac{1}{2\eta} (J_2' - k \sqrt{J_2'}) \quad (3.3)$$

Таким образом, для вязкопластических сред вид функционала следующий:

$$J = \int_V \left[ 2\sigma_{ij} e_{ij}^* - \frac{1}{\eta} (J_2' - k \sqrt{J_2'}) - 2\eta I_2^{*'} - k \sqrt{I_2^{*'}} \right] dv - \int_{S_p} p u^* ds - \int_V \rho F u^* dv \quad (3.4)$$

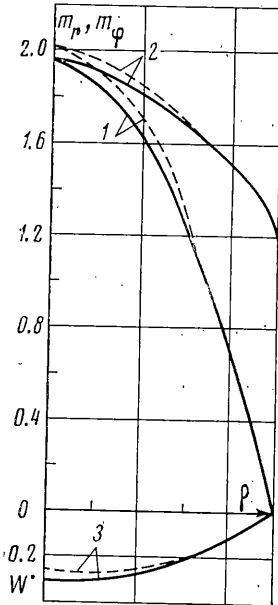
Рассмотрим оболочки из вязкопластического материала. При непрерывном изменении  $e_{ij}^*$  по толщине оболочки из формулы (3.2) следует непрерывное изменение по толщине  $s_{ij}$ ; следовательно, для тонких оболочек можно принять

$$s_{ij} = s_{ij}^{\circ} + z s_{ij}' \quad \text{или} \quad \sigma_{ij} = \sigma_{ij}^{\circ} + z \sigma_{ij}'$$

Напряжения  $\sigma_{ij}^{\circ}$  связаны с усилиями в срединной поверхности оболочки, а напряжения  $\sigma_{ij}'$  определяют моментное состояние

$$\sigma_{11} = \frac{N_1}{h} + 12 \frac{z}{h^3} M_1, \quad \sigma_{22} = \frac{N_2}{h} + 12 \frac{z}{h^3} M_2$$

$$\sigma_{12} = \frac{N_{12}}{h} + 12 \frac{z}{h^3} M_{12}$$



Фиг. 1

Тогда для потенциальных функций (3.3) получим выражения

$$X_p^*(M_{ij}, N_{ij}) = \frac{1}{2\eta} \left( A \frac{h^3}{12} + Ch \right) - \frac{k}{2\eta} \left[ \frac{Ah+B}{4A\sqrt{A}} L - \frac{B-Ah}{4A\sqrt{A}} Q + \frac{4AC-B^2}{8A\sqrt{A}} \ln \left| \frac{2L+Ah+B}{2Q-Ah+B} \right| \right]$$

$$X_v^*(e_{ij}^{\circ}, \kappa_{ij}') = 2\eta \left[ \frac{ah^3}{12} + ch + k \frac{ah+b}{4a\sqrt{a}} l - k \frac{b-ah}{4a\sqrt{a}} q + k \frac{4ac-b^2}{8a\sqrt{a}} \ln \left| \frac{2l+ah+b}{2q-ah+b} \right| \right]$$

$$A = \left( \frac{12}{h^3} \right)^2 (M_1^2 - M_1 M_2 + M_2^2 + M_{12}^2), \quad C = \frac{1}{h^2} (N_1^2 - N_1 N_2 + N_2^2 + N_{12}^2) \quad (3.5)$$

$$B = \frac{12}{h^4} (2N_1 M_1 - N_1 M_2 - M_1 N_2 + 2N_2 M_2 + 2N_{12} M_{12}), \quad a = \kappa_1 \kappa_2 + \kappa_2^2 + \kappa_2^4$$

$$c = \varepsilon_1^{\circ} \varepsilon_2^{\circ} + (\varepsilon_1^{\circ})^2 + (\varepsilon_2^{\circ})^2, \quad b = 2\varepsilon_1^{\circ} \kappa_1 + 2\varepsilon_2^{\circ} \kappa_2 + \varepsilon_1^{\circ} \kappa_2 + \varepsilon_2^{\circ} \kappa_1, \quad L = \left[ A \left( \frac{Ah^2}{4} + \frac{Bh}{2} + C \right) \right]^{1/2}$$

$$Q = \left[ A \left( \frac{Ah^2}{4} - \frac{Bh}{2} + C \right) \right]^{1/2}, \quad l = \left[ a \left( \frac{ah^2}{4} + \frac{bh}{2} + c \right) \right]^{1/2}, \quad q = \left[ a \left( \frac{ah^2}{4} - \frac{bh}{2} + c \right) \right]^{1/2}$$

Для вязкопластических оболочек функционал  $J_1$  имеет вид (2.2), а потенциальные функции определяются соотношениями (3.5).

В качестве примера рассмотрим вязкопластическое течение свободно опертой круглой пластинки толщиной  $h$  и радиуса  $R$  под действием равномерно распределенной нагрузки.

При изгибе пластин

$$N_r = N_\varphi = 0, \quad \varepsilon_{rr} = 0, \quad \varepsilon_{\varphi\varphi} = 0, \quad \kappa_r = -\frac{d^2 w}{dr^2}, \quad \kappa_\varphi = -\frac{1}{r} \frac{dw}{dr}.$$

Моменты  $M_r$  и  $M_\varphi$  удовлетворяют уравнениям равновесия

$$\frac{\partial}{\partial r} (rM_r) - M_\varphi = \int_0^r pr \, dr$$

Введем безразмерные величины

$$m_r = M_r/M_0, \quad m_\varphi = M_\varphi/M_0, \quad \rho = r/R, \quad p' = pR^2/M_0, \quad W = w/R, \quad M_0 = kh^2/4, \\ R\kappa_{ij} = k_{ij}, \quad \nu = 2\eta h/3kR$$

Функционал  $J$  при изгибе пластины примет вид

$$J = \int_s \left[ 2m_r k_r + 2m_\varphi k_\varphi - \nu(k_r^2 + k_r k_\varphi + k_\varphi^2) - \frac{2}{3\nu} (m_r^2 - m_r m_\varphi + m_\varphi^2) + \right. \\ \left. + 2\nu \sqrt{1/3} (m_r^2 - m_r m_\varphi + m_\varphi^2) - \sqrt{k_r^2 + k_r k_\varphi + k_\varphi^2} - p' W \right] ds \quad (3.6)$$

Кинематически допустимое поле скоростей перемещений и статически допустимое поле моментов зададим в форме

$$W = H(1 - \rho^2), \quad m_r = D(1 - \rho^2), \quad m_\varphi = D + (p'/2 - 3D)\rho^2 \quad (3.7)$$

Подставляя выражения (3.7) в (3.6) и минимизируя функционал по  $H$  и  $D$ , получим

$$W = \frac{p' - 4\sqrt{3}}{48\nu} (1 - \rho^2), \quad m_r = \frac{7}{32} p' (1 - \rho^2), \quad m_\varphi = \frac{p'}{32} (7 - 3\rho^2)$$

На фигуре пунктирные кривые соответствуют найденным значениям  $m_r$  (кривая 1),  $m_\varphi$  (кривая 2) и  $W$  (кривая 3). Сплошными линиями отмечено соответствующее решение, полученное в [3].

Поступила 2 VI 1975

ЛИТЕРАТУРА

1. Фрейденталь А., Гейрингер Х. Математические теории неупругой сплошной среды. М., Физматгиз, 1962.
2. Черных К. Ф. Линейная теория оболочек. Изд-во ЛГУ, 1964.
3. Пэжина П. Основные вопросы вязкопластичности. М., «Мир», 1968.

УДК 539.3

КОНЕЧНЫЕ ПЕРЕМЕЩЕНИЯ ОСЕСИММЕТРИЧНЫХ НЕПОЛОГИХ ОБОЛОЧЕК

Н. В. ВАЛИШВИЛИ

(Кутаиси)

Вопросы расчета неполюгих оболочек при конечных перемещениях неоднократно рассматривались на примере сферических оболочек. В работах [1, 2] уравнения Рейсснера [3, 4] решались при малых и средних значениях параметра пологости методом конечных разностей. Аналогичные уравнения были использованы для исследования эластички замкнутой сферы в [5, 6].

Уточненный вариант уравнений Рейсснера предложен и рассмотрен в [7]. Уравнения другого вида были получены в [8]. На основании этих уравнений исследованы сферические оболочки с подвижным в радиальном направлении опорным контуром.

Другой вариант уравнений неполюгих сферических оболочек предложен в [9]. Аналогичные уравнения использовались для установления пределов применимости уравнений полюгих оболочек в [10].